

液相色谱-串联质谱法分析大鼠血液中基因组 DNA 羟甲基化水平

陈光耀¹, 杨柳青², 文娟¹, 葛苗苗¹, 张立坚¹, 蔡春¹

(1. 广东医学院分析中心, 广东 湛江 524023; 2. 四川大学华西药学院, 四川 成都 610041)

摘要: 5-羟甲基胞嘧啶(5-hydroxymethylcytosine, 5hmC)是由TET蛋白家族催化氧化5-甲基胞嘧啶(5-methylcytosine, 5mC)生成的, 对哺乳动物的基因转录和表达发挥着重要的调控作用。本研究建立了血液样品中5hmC的液相色谱-串联质谱(LC-MS/MS)测定方法, 采用试剂盒法提取血液基因组DNA, 在甲酸环境下加热裂解, 采用HILIC色谱柱分离, 电喷雾电离和多反应监测模式定量。结果表明: 5hmC在0.1~50 μg/L范围内线性关系良好, 相关系数为0.9994; 高、中、低3个加标水平的平均回收率为95.87%, 日内和日间的相对标准偏差分别为3.42%和4.12%; 5hmC的检出限(LOD, S/N=3)为0.050 μg/L, 定量限(LOQ, S/N=10)为0.100 μg/L。该方法准确、快速、稳定、灵敏, 可用于血液样品全基因组中5-羟甲基胞嘧啶的检测分析。

关键词: 5-羟甲基胞嘧啶(5hmC); 液相色谱-串联质谱(LC-MS/MS); DNA羟甲基化; 血液; 大鼠

中图分类号: O657.63

文献标志码: A

文章编号: 1004-2997(2015)03-0249-06

doi: 10.7538/zpxb.youxian.2015.0011

Analysis of Global DNA Hydroxymethylation in Rats' Blood by Liquid Chromatography-Tandem Mass Spectrometry

CHEN Guang-zhao¹, YANG Liu-qing², WEN Juan¹, GE Miao-miao¹,
ZHANG Li-jian¹, CAI Chun¹

(1. Analysis Center of Guangdong Medical College, Zhanjiang 524023, China;

2. West China School of Pharmacy, Sichuan University, Chengdu 610041, China)

Abstract: 5-Hydroxymethylcytosine (5hmC), which was formed from the enzymatic oxidation of 5-methylcytosine (5mC) by TET proteins family, played an important role in gene transcription and expression regulation as a new epigenetic modified in mammal animal. A method for global DNA hydroxymethylation in blood sample of rats using hydrophilic interaction liquid chromatography-tandem mass spectrometry(LC-MS/MS) was developed. Genomic DNA from blood samples was extracted by genomic DNA isolation kit, and then was hydrolyzed with formic acid at 140 °C. The LC separation was

收稿日期: 2014-07-08; 修回日期: 2014-08-25

基金项目: 国家自然科学基金(21375029); 广东省学科建设基金(2013CXZDA018)资助

作者简介: 陈光耀(1990—), 男(汉族), 广东湛江人, 硕士研究生, 生物医学分析专业。E-mail: 849405005@qq.com

通信作者: 蔡春(1961—), 男(汉族), 广东湛江人, 教授, 从事生物医学分析研究。E-mail: caichun@gdmc.edu.cn

网络出版时间: 2015-01-30; 网络出版地址: <http://www.cnki.net/kcms/detail/11.2979.TH.20150130.1551.011.html>

conducted on Waters HILIC column by gradient elution with acetonitrile-7 mmol/L ammonium formate as mobile phase, and the analysis were performed by tandem MS with positive ion electrospray ionization (ESI^+) in multiple reaction monitoring (MRM) mode. The results show that the calibration curve with a good linearity in the concentration range of 0.1–50 $\mu\text{g}/\text{L}$ is established for 5hmC, and the correlation coefficients are higher than 0.999. The limit of detection (LOD, $S/N=3$) and the limit of quantification (LOQ, $S/N=10$) for 5hmC are 0.050 and 0.100 $\mu\text{g}/\text{L}$, respectively. The relative standard deviations (RSD) of the intra-day and inter-day precision are 3.42% and 4.12%, respectively. The recovery of the spiked standards varies from 92.51% to 102.19%. The method is applied to analyze the hydroxymethylation level of genomic DNA from the blood samples of rats, and a average 5hmC degree of 0.48% is acquired. The method is available for the determination of global DNA hydroxymethylation in blood for its simplicity, speediness, and precision.

Key words: 5-hydroxymethylcytosine (5hmC); liquid chromatography-tandem mass spectrometry(LC-MS/MS); DNA hydroxymethylation; blood; rat

DNA 甲基化是指在 DNA 甲基转移酶 (DNA methyltransferase, DNMT) 介导下, 以 S-腺苷 甲硫氨酸 (S-adenosyl-L-methionine, SAM) 为甲基供体, 将 1 个甲基共价结合到胞嘧啶环 (Cyt) 第 5 位碳原子上, 成为 5-甲基胞嘧啶 (5mC), 5mC 在 TET (ten-eleven translocation) 蛋白加双氧酶家族催化氧化下生成 5-羟甲基胞嘧啶 (5hmC)^[1]。在哺乳动物基因组内, DNA 甲基化修饰在胚胎发育、基因表达调控、X 染色体失活、肿瘤与遗传病等方面发挥着重要的作用。近年来, 随着 TET 蛋白家族功能的发现, DNA 羟甲基化在表观遗传领域越来越受到重视。Jin 等^[2]指出 5hmC 存在于人类大脑额叶组织; Robertson 等^[3]在人类胚胎干细胞调控基因的启动子上检测到 5hmC; Jin 等^[4]指出 DNA 中 5hmC 可以抑制参与 5mC 转录调控的甲基化结合蛋白, 从而导致 DNA 被动去甲基化, 这说明 5hmC 在表观遗传中充当着重要的角色。

与基因组 DNA 甲基化检测方法不同, 绝大多数方法, 如限制性内切酶处理和重亚硫酸盐测序都不能区分 5mC 和 5hmC^[4-5]。由于 5hmC 在体内的含量较低, 定量检测基因组 DNA 中的 5hmC 在技术上具有一定的挑战性。5hmC 现有的检测方法有: 薄层色谱法^[6]、液相色谱法^[6-7]、免疫组织化学法^[8]、糖基化法和在糖基化基础上的化学标记法^[9-10]; 另外, 通过单

分子实时测序法^[9]和应用氧化重硫酸盐测序法也能对 5hmC 进行定量测定^[11-12], 但是, 这些分析方法均存在半定量或效率不高的局限。近年来, 液相色谱-串联质谱法(LC-MS/MS)在表观遗传领域的发展较快, 陈丽宇、张立坚等^[13-15]采用 LC-MS/MS 法检测了组织中的 5hmC 含量, 具有快速、灵敏、准确性高、检测限低等特点, 但尚未发现血液中 5hmC 的 LC/MS 分析报道。

本研究采用试剂盒法提取血液中全基因组 DNA, 并用甲酸加热水解, 亲水作用色谱-串联质谱法测定 DNA 水解碱基 Cyt、5mC 与 5hmC 的含量, 并分析 SD 大鼠血液中 DNA 羟甲基化水平, 以期为血液样品中 5hmC 定量测定提供方法参考。

1 实验部分

1.1 仪器与试剂

3K15 台式高速冷冻离心机: 德国 Sigma 公司产品; Agilent 1200-6430A 液相色谱-串联质谱仪: 美国 Agilent 公司产品。

胞嘧啶 (Cytosine, Cyt)、5-甲基胞嘧啶 (5-methylcytosine, 5mC)、5-羟甲基胞嘧啶 (5-hydroxymethylcytosine, 5hmC) 标准品: 德国 Sigma 公司产品; 同位素胞嘧啶 (Cytosine-¹³C¹⁵N₂, Cyt¹³C¹⁵N₂): Toronto research chemicals Inc 公司产品; 血液/细胞/组织基因组 DNA 提取试剂盒: 天根生化科技(北京)有限公司等 4 家公司产品; 乙腈、甲酸(色谱纯): 德国

Merck 公司产品;甲酸铵(色谱纯):美国 Sigma-Aldrich 公司产品;无水乙醇为分析纯;实验用水:由美国 Millipore 公司超纯水器制备。

1.2 血液样品 DNA 提取和处理

1.2.1 血液样品 DNA 提取 抽取 16 周龄 SPF 级的 SD 大鼠心脏血液于血常规试管中,以 3 000 r/min 离心 5 min, 取 3~4 mL 下层血液, 按照试剂盒的说明步骤提取血液全基因组 DNA。

1.2.2 DNA 的水解及处理 取约 1 μg DNA 和 200 μL 50 $\mu\text{g}/\text{L}$ 的 Cyt $^{13}\text{C}^{15}\text{N}_2$ 于反应瓶中, 用 N_2 吹干, 加入 200 μL 88% 甲酸, 于 140 $^{\circ}\text{C}$ 下反应 90 min, 冷却至室温后用 N_2 吹干, 再加入 200 μL 乙腈-7 mmol/L 甲酸铵水溶液 (93 : 7, V/V) 溶解, 以 15 000 r/min 离心 5 min, 取上清液, 供 LC-MS/MS 分析。

1.3 标准溶液的配制

分别准确称取一定量的 Cyt、5mC 和 5hmC 固体标准品, 用甲醇溶解并定容, 配制成 1 mg/L 的 Cyt、5mC 及 5hmC 标准储备液。准确称取一定量的 Cyt $^{13}\text{C}^{15}\text{N}_2$ 内标物, 用甲醇溶解并定容, 配制成 1 mg/L 的 Cyt $^{13}\text{C}^{15}\text{N}_2$ 内标标准储备液。所有储备液在 4 $^{\circ}\text{C}$ 下避光保存, 使用时用流动相逐级稀释成混合标准工作液。

1.4 仪器条件

1.4.1 液相色谱条件 BEH HILIC 色谱柱 (100 mm \times 2.1 mm \times 1.7 m); 流动相: A 为 7 mmol/L 甲酸铵, B 为乙腈; 流速 0.3 mL/min, 柱温 20 $^{\circ}\text{C}$, 进样量 5 μL ; 梯度洗脱程序: 0—1.5 min, 93% B; 1.5—3.7 min, 93% B 降至 50% B; 3.7—8.7 min, 维持 50% B; 8.7 min, 升至 93% B; 8.7—15 min, 93% B 维持 7 min。

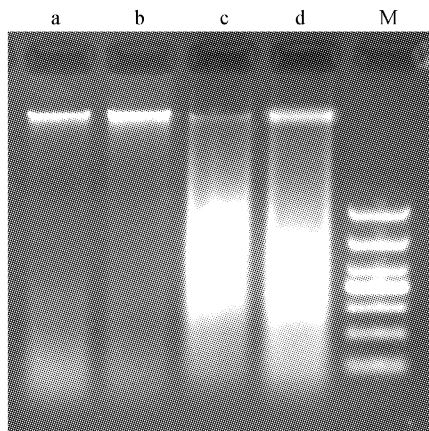
1.4.2 质谱条件 电喷雾电离源(ESI), 正离子模式; 多反应监测模式(MRM)定量; 5hmC 的母离子 m/z 142.0, 定量离子 m/z 124.0, 定性离子 m/z 81.0; 干燥气温度 350 $^{\circ}\text{C}$, 干燥气流速 10 L/min; 毛细管电压 4 000 V。Cyt、5mC 分析条件参见文献[15]。

2 结果与讨论

2.1 血液 DNA 提取及水解条件优化

DNA 提取的质量对后续的质谱定量分析有着重要的影响。为探讨不同试剂盒提取血液 DNA 对后续分析的差异, 比较了 4 家公司生产

的血液基因组 DNA 提取试剂盒的提取效果, 并设置空白对照组。用紫外光度法检测发现, 4 种试剂盒提取的 DNA 纯度均较好, A260/A280 值均在 1.7~1.9 之间。但在琼脂糖凝胶电泳图上可见: c 和 d 两个厂家生产的试剂盒提取的 DNA 降解明显, 拖尾现象较严重; a 和 b 两个厂家生产的试剂盒提取效果则较好, DNA 较完整、条带明亮, 示于图 1。综合 DNA 提取效果、操作简便程度和试剂盒成本等因素, 本实验选择了天根公司的基因组 DNA 提取试剂盒进行血液样品基因组 DNA 的提取。



注: a. 天根公司试剂盒; b. QIAGEN 公司试剂盒;

c. 某生物公司的小量抽提试剂盒;

d. 某生物公司的磁珠法试剂盒(血液); M. DNA 标记

图 1 不同公司试剂盒提取的 DNA 电泳结果

Fig. 1 DNA electrophoresis results
of different corporations' kit

在 DNA 裂解环节, 通过设计标准对照实验和空白对照实验考察样品的水解是否对 LC-MS/MS 灵敏度和分离度产生干扰。采用 DNA 提取试液加标准溶液作标准对照实验, 采用 DNA 提取试液作空白对照实验。LC-MS/MS 分析结果显示: 与标准样品的色谱图比较, 标准对照色谱峰的灵敏度和分离度均较好; 空白对照显示基线没有干扰峰, 说明水解过程对 LC-MS/MS 分析没有影响。

2.2 质谱条件的优化

为提高目标化合物的响应, 对质谱参数进行了优化。分别加入 5 μL 1 mg/L 的 5hmC、Cyt、5mC 和 Cyt $^{13}\text{C}^{15}\text{N}_2$ 标准溶液, 在正、负离子模式下, m/z 50~500 范围内进行全扫描, 以

选择合适的准分子离子峰和电离方式。 5hmC 、 Cyt 、 5mC 和 $\text{Cyt}^{13}\text{C}^{15}\text{N}_2$ 在正离子模式下的响应较高, 示于图 2。在选择离子监测模式下, 优化了 5hmC 、 Cyt 、 5mC 和 $\text{Cyt}^{13}\text{C}^{15}\text{N}_2$ 的锥孔电压值, 使其响应达到最高; 并在多反应监测模式下对 5hmC 、 Cyt 、 5mC 和 $\text{Cyt}^{13}\text{C}^{15}\text{N}_2$ 的定量和定性离子的碰撞能量进行了优化, 最终选用 m/z 142.0/124.0、112.0/95.0、126.0/109.0、115.0/97.0 分别作为 5hmC 、 Cyt 、 5mC 和 $\text{Cyt}^{13}\text{C}^{15}\text{N}_2$ 的定量离子对; 选用 m/z 142.0/81.0、112.0/69.0、126.0/83.0、115.0/70.0 分别作为对应的辅助定性离子对^[16]。

2.3 色谱条件的选择

2.3.1 色谱柱的选择

Cyt 、 5mC 和 5hmC 都是

极性较强的化合物, 在反相色谱柱中几乎没有保留, 因而无法分离。HILIC 色谱柱对极性样品有很好的保留和分离能力, 能满足极性较强的样品分析。此外, 由于 HILIC 流动相含有高浓度的有机溶剂, 有利于增强电喷雾质谱的离子化效率, 从而提高分析灵敏度, 与质谱具有很好的兼容性, 为此, 选择 HILIC 色谱柱分离这 3 个组分。

2.3.2 流动相的优化 为了优化 Cyt 、 5mC 和 5hmC 在 HILIC 色谱柱中的保留和分离条件, 探讨了乙腈和水相的比例、甲酸铵溶液浓度及流动相流速对样品分离及灵敏度的影响。

在固定流速下, 乙腈的比例升高, 5hmC 的峰面积增加, 但峰宽增大; 然而, 水相的比例升

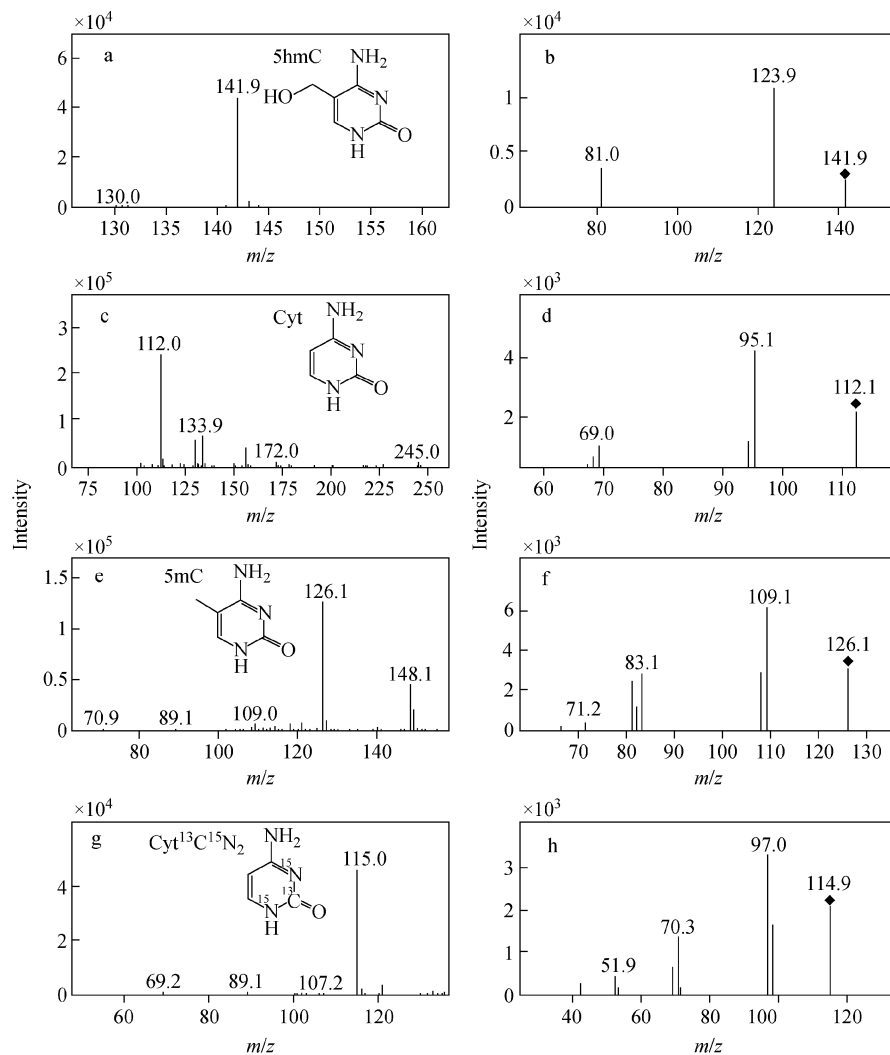


图 2 5hmC 、 Cyt 、 5mC 和 $\text{Cyt}^{13}\text{C}^{15}\text{N}_2$ 的全扫描(a, c, e, g)和子离子优化(b, d, f, h)图

Fig. 2 Full-scan(a, c, e, g) and product ion optimization(b, d, f, h) spectrogram of 5hmC , Cyt , 5mC and $\text{Cyt}^{13}\text{C}^{15}\text{N}_2$, respectively

高,色谱峰的峰宽变小,但响应降低,出峰时间缩短,目标组分易受干扰。综合考虑上述因素,采用1.4.1节中的梯度洗脱程序进行洗脱。

在已优化的梯度洗脱条件下,分别配制2.5、5、7、10、15 mmol/L甲酸铵溶液的水相,考察5hmC的灵敏度和峰面积,发现甲酸铵浓度为7 mmol/L时,5hmC的峰形、灵敏度、分离度及重现性较好。同时优化了流动相流速,结果表明,采用7 mmol/L甲酸铵水溶液和乙腈作为流动相,以0.3 mL/min流速进行梯度洗脱时,Cyt、5mC和5hmC的分离度和灵敏度均较好,且这3个组分也没有相互干扰,色谱图示于图3。

2.4 线性范围、检出限及定量限

分别配制0.1、0.5、1、5、10、15、30 μg/L的5hmC标准溶液,各浓度标准溶液中内标Cyt¹³C¹⁵N₂的质量浓度均为50 μg/L,在优化条件下进行测定。本实验中DNA样品含有一定量的5hmC,故采用标准溶液法绘制标准曲线。以5hmC的质量浓度($x, \mu\text{g}/\text{L}$)为横坐标,色谱峰面积(y)为纵坐标,进行线性回归,得到Cyt、5mC和5hmC的回归方程列于表1。Cyt、5mC和5hmC的线性关系良好,相关系数均大于0.99。以信噪比大于3确定样品的检出限(LOD),以信噪比大于10确定样品的定量限(LOQ),结果列于表1。

2.5 重复性和精密度实验

取同一DNA样品在同一天的2、4、6、8、10 h及第1、2、3、4、5 d进行重复测试;取10 μg/L 5hmC标准溶液连续进样6次。结果表明,5hmC测定值的日内相对标准偏差(RSD)和日间相对标准偏差分别为3.42%和4.12%,精密度RSD为3.79%,说明方法的重现性和稳定性较好。

2.6 方法的回收率

为考察分析方法的准确性,在裂解瓶中分别加入200 μL 25、5和1 μg/L的5hmC标准溶液,用N₂吹干,按1.2.2节DNA的水解及处理方法

操作,结果列于表2。在不同的加标浓度下,Cyt、5mC和5hmC的回收率均在92%~103%之间,RSD小于7%,可见该方法的准确性较高。

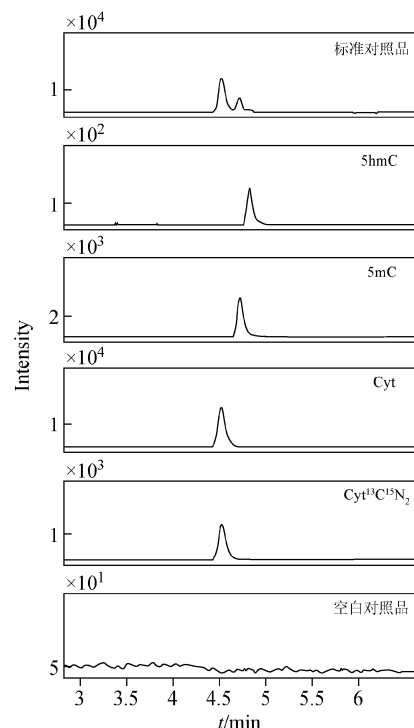


图3 化合物Cyt, Cyt¹³C¹⁵N₂, 5mC, 5hmC的分离色谱图

Fig. 3 Chromatographic separation of Cyt, Cyt¹³C¹⁵N₂, 5mC and 5hmC

2.7 血液样品分析

平行抽取16周龄SPF级的SD大鼠血液,按照1.2节的方法提取和处理样品,采用LC-MS/MS检测,并分别通过2.4节的线性方程得出DNA中Cyt、5mC和5hmC的摩尔浓度 M 。通过公式 $T=M_{\text{shmc}}/[M_{\text{Cyt}}+M_{\text{5mC}}+M_{\text{5hmC}}] \times 100\%$ 计算DNA羟甲基化程度。结果表明,SD大鼠血液基因组DNA中羟甲基化水平为0.48%(RSD=3.42%, n=10),表明本方法适用于血液基因组DNA羟甲基化水平的分析。

表1 Cyt、5mC和5hmC的线性方程、相关系数、检出限及定量限

Table 1 Regression equations, correlation coefficients, limits of detection and limits of quantification of Cyt, 5mC and 5hmC

化合物	线性方程	相关系数(R^2)	检出限/(μg/L)	定量限/(μg/L)
Cyt	$y=0.5158x-0.0669$	0.9999	0.001	0.005
5mC	$y=0.3813x+0.1951$	0.9978	0.050	0.100
5hmC	$y=0.1010x-0.0216$	0.9994	0.050	0.100

表 2 5hmC 加标回收率及精密度($n=6$)
Table 2 Recoveries and precisions of 5hmC($n=6$)

添加量/ng	测得量/ng	回收率/%	RSD/%
0.2	0.203 9±0.013	102.19	6.2
1.0	0.925 1±0.054	92.51	5.8
5.0	4.647 0±0.188	92.91	4.0

3 结论

本研究建立了 LC-MS/MS 方法分析血液全基因组中的 5hmC, 该方法可在 3 h 内完成 SD 大鼠血液中 5hmC 全过程的分析。结果表明,DNA 的甲酸水解方法较酶解法更节约样品处理时间,HILIC 柱适合保留和分离 Cyt、5mC 和 5hmC, 该方法具有快速、灵敏、重现性好等优点,适用于血液中 5hmC 的分析检测。

参考文献:

- [1] TAHILIANI M, KOH K P, SHEN Y, et al. Conversion of 5-methylcytosine to 5-hydroxymethylcytosine in mammalian DNA by MLL partner TET1 [J]. *Science*, 2009, 324(5 929): 930-935.
- [2] JIN S G, WU X, LI A X, et al. Genomic mapping of 5-hydroxymethylcytosine in the human brain[J]. *Nucleic Acids Res*, 2011, 39(12): 5 015-5 024.
- [3] ROBERTSON A B, DAHL J A, VAGBO C B, et al. A novel method for the efficient and selective identification of 5-hydroxymethylcytosine in genomic DNA[J]. *Nucleic Acids Res*, 2011, 39(8): e55.
- [4] JIN S G, KADAM S, PFEIFER G P. Examination of the specificity of DNA methylation profiling techniques towards 5-methylcytosine and 5-hydroxymethylcytosine[J]. *Nucleic Acids Res*, 2010, 38(11): e125.
- [5] NESTOR C, RUZOV A, MEEHAN R, et al. Enzymatic approaches and bisulfite sequencing cannot distinguish between 5-methylcytosine and 5-hydroxymethylcytosine in DNA [J]. *Biotechniques*, 2010, 48(4): 317-319.
- [6] KRIAUCIONIS S, HEINTZ N. The nuclear DNA base 5-hydroxymethylcytosine is present in Purkinje neurons and the brain [J]. *Science*, 2009, 324(5 929): 929-930.
- [7] KIZAKI S, SUGIYAMA H. CGmCGCG is a versatile substrate with which to evaluate Tet protein activity[J]. *Org Biomol Chem*, 2014, 12(1): 104-107.
- [8] ALMEIDA R D, SOTTILE V, LOOSE M, et al. Semi-quantitative immunohistochemical detection of 5-hydroxymethyl-cytosine reveals conservation of its tissue distribution between amphibians and mammals[J]. *Epigenetics*, 2012, 7(2): 137-140.
- [9] SONG C X, CLARK T A, LU X Y, et al. Sensitive and specific single-molecule sequencing of 5-hydroxymethylcytosine [J]. *Nat Methods*, 2012, 9(1): 75-77.
- [10] TERRAGNI J, BITINAITE J, ZHENG Y, et al. Biochemical characterization of recombinant beta-glucosyltransferase and analysis of global 5-hydroxymethylcytosine in unique genomes[J]. *Biochemistry*, 2012, 51(5): 1 009-1 019.
- [11] BOOTH M J, BRANCO M R, FICZ G, et al. Quantitative sequencing of 5-methylcytosine and 5-hydroxymethylcytosine at single-base resolution [J]. *Science*, 2012, 336(6 083): 934-937.
- [12] WEN L, LI X, YAN L, et al. Whole-genome analysis of 5-hydroxymethylcytosine and 5-methylcytosine at base resolution in the human brain [J]. *Genome Biol*, 2014, 15(3): R49.
- [13] 陈丽宇, 张立坚, 张良滔, 等. 液相色谱-串联质谱分析组织中基因组脱氧核糖核酸羟甲基胞嘧啶水平[J]. 色谱, 2012, 30(5): 533-537.
CHEN Liyu, ZHANG Lijian, ZHANG Liangtao, et al. Analysis of global deoxyribonucleic acid 5-hydroxymethylcytosine in tissue by liquid chromatography-tandem mass spectrometry[J]. *Chinese Journal of Chromatography*, 2012, 30(5): 533-537.
- [14] ZHANG L, ZHANG L, ZHOU K, et al. Simultaneous determination of global DNA methylation and hydroxymethylation levels by hydrophilic interaction liquid chromatography-tandem mass spectrometry[J]. *J Biomol Screen*, 2012, 17(7): 877-884.
- [15] ZHANG L T, ZHANG L J, ZHANG J J, et al. Quantification of the sixth DNA base 5-hydroxymethylcytosine in colorectal cancer tissue and C-26 cell line[J]. *Bioanalysis*, 2013, 5(7): 839-845.
- [16] ZHANG J J, ZHANG L, ZHOU K, et al. Analysis of global DNA methylation by hydrophilic interaction ultra high-pressure liquid chromatography tandem mass spectrometry[J]. *Anal Biochem*, 2011, 413(2): 164-170.